

# آشکارسازی همدوس اهداف راداری با تموج میانی در کلاتر گوسی

محمد رضا تابان

یک هدف راداری نمود [۳]. او اهداف راداری را به دو دسته کلی اهداف با تموج آهسته<sup>۹</sup> و با تموج سریع<sup>۱۰</sup> تقسیم کرد و به هر دسته دو نوع تابع چگالی احتمال نسبت داد. در اهداف با تموج آهسته، دامنه نمونه‌های متوالی مشاهده شده از آن هدف دارای مقدار یکسان می‌باشد در حالی که در اهداف با تموج سریع این دامنه‌ها همگی دوبه‌دو مستقل هستند. مدل‌های سورلینگ سال‌هاست که به‌عنوان اصلی‌ترین مدل‌های سیگنال هدف در آشکارسازی رادار استفاده می‌شوند. مدل‌های سورلینگ که در حالت غیر همدوس مطرح شده‌اند حتی به حالت همدوس تعمیم پیدا کرده‌اند [۴].

اگر توجه خود را به دو دسته مدل سورلینگ معطوف کنیم ملاحظه می‌شود که یک ناپیوستگی قابل توجه در تعریف آن وجود دارد. به عبارت دیگر از فرض یکسان بودن دامنه نمونه‌های هدف در یک مدل به فرض استقلال دوبه‌دوی آنها در مدل دیگر پرش می‌کنیم. لذا در نظر گرفتن یک حالت بینابین این دو از لحاظ تئوری و عملی کاملاً منطقی بوده که به آن مدل تموج میانی می‌گویند [۵]. در این مدل دامنه نمونه‌های سیگنال هدف یکسان نبوده و مستقل نیز نیستند بلکه با یکدیگر دارای همبستگی می‌باشند.

به آشکارسازی اهداف با تموج میانی در کلاتر بسیار کم توجه شده است. با این حال در همان چند مقاله معدودی که به این مسأله پرداخته‌اند یک ایراد مهم در مدل‌سازی سیگنال وجود دارد [۵] تا [۹]. در این مقالات برای مدل‌سازی بردار سیگنال هدف با تموج میانی، آن را یک بردار تصادفی گوسی با ماتریس کوواریانس معلوم فرض کرده‌اند. در حالی که همان‌طور که مدرس هاشمی در [۱۰] نشان داده است، در آشکارسازی همدوس رادار فقط در حالت مدل سورلینگ I و با داپلر معلوم (که دامنه نمونه‌ها یکسان و دارای توزیع رابلی هستند) می‌توان توزیع بردار سیگنال را گوسی فرض کرد البته در همین حالت خاص نیز، بردار سیگنال مربوطه با بردار سیگنال مطرح شده در مقالات فوق تفاوت اساسی دارد.

آشکارسازی اهداف با تموج میانی اولین بار توسط شولتز<sup>۱۱</sup> در [۵] انجام شده که عملکرد یک گیرنده غیر همدوس روی یک زوج پالس که دامنه‌هایشان همبستگی داشته است بررسی شده است. اقدام مشابه توسط سورلینگ در [۳] برای قطار پالس‌های با تموج میانی انجام شد. سورلینگ در [۱۱] کار خود در مقاله قبلی را با محاسبه عملکرد گیرنده هنگامی که پارامترهای گیرنده به‌طور دقیق بر پارامترهای سیگنال واقعی منطبق نیستند به اهداف متموج راداری تعمیم داد. کارهای انجام شده در مقالات فوق بر مبنای گیرنده‌ای که دارای یک ساختار از پیش تعیین شده قبلی بود، عمل می‌کرد و در واقع عملکرد چنین ساختاری مورد ارزیابی قرار می‌گرفت. دی فرانکو<sup>۱۲</sup> در [۶] از نتایج این تحقیقات برای آشکارسازی اهداف بدون تموج، تموج آهسته و تموج سریع استفاده کرده است.

چکیده: در این مقاله به حل آزمون فرضیه مرکب برای آشکارسازی همدوس اهداف راداری با تموج میانی در کلاتر اقدام شده است. در محدود تحقیقات انجام شده قبلی، در شرایط مشابه، بردار هدف به صورت یک بردار تصادفی گوسی و مستقل از بردار کلاتر مدل شده است. در این مقاله بر مبنای همدوس بودن آشکارسازی و تعمیم مدل‌های سورلینگ به حالت بینابینی، به مدلی می‌رسیم که نشان می‌دهد استفاده از فرض گوسی بودن بردار هدف در چنین حالتی صحیح نمی‌باشد. بر این مبنای، بر اساس روابط آشکارسازی بهینه، آزمون مهم GLR برای آشکارسازی اهداف با تموج میانی در کلاتر گوسی محقق و عملکرد آن با آشکارسازهای تخمین‌زن - همبستگی‌یاب (ECD) و آشکارساز خطی بیشینه‌کننده سیگنال به کلاتر (OF) مقایسه شده است. ضمناً در آشکارسازی، شیفت داپلر معلوم فرض می‌شود.

نتایج حاصل از شبیه‌سازی کامپیوتری نشان می‌دهند که آشکارساز تخمین‌زن - همبستگی‌یاب (که در کارهای قبل به‌عنوان آشکارساز بهینه مطرح بود) همچنان در مقایسه با سایر آشکارسازهای مطرح (از جمله GLR تحقق‌یافته) دارای عملکرد بهتری می‌باشد. با این حال آشکارساز OF به علت دارا بودن ساختار ساده‌تر و عملکرد نزدیک به آن آشکارساز، به‌عنوان یک آشکارساز خوب قابل طرح است. آشکارساز GLR اگرچه عملکرد مناسبی دارد ولی در مجموع حالت‌های گوناگون دارای عملکردی پایین‌تر از دو آشکارساز دیگر است که با توجه به روابط پیچیده‌تر آن، قابل رقابت نخواهد بود.

کلید واژه: آزمون GLR، آشکارسازی رادار، هدف تموج میانی، همدوس.

## ۱- مقدمه

در این مقاله به آشکارسازی همدوس<sup>۱</sup> اهداف با تموج میانی<sup>۲</sup> در کلاتر، در یک رادار دیدبان پالسی اقدام می‌شود. در این راستا سعی می‌شود با مدل‌سازی سیگنال و کلاتر در داخل سلول راداری و بر اساس روش‌های متکی بر تئوری پیشرفته مخابرات (آزمون فرضیه) به آشکارسازی بهینه نزدیک گردیم (آشکارسازی شبه‌بهینه<sup>۳</sup>) [۱]. در آشکارسازی رادار معیار بهینگی، معیار نیمن پیرسون<sup>۴</sup> (NP) است. بر مبنای این معیار، آشکارساز بهینه به‌ازای هر مقدار ثابت مورد نظر از احتمال هشدار غلط<sup>۵</sup> ( $P_{fa}$ ) مقدار احتمال آشکارسازی<sup>۶</sup> ( $P_d$ ) را بیشینه می‌سازد [۲].  
برای اولین بار سورلینگ<sup>۷</sup> اقدام به مدل‌سازی سطح مقطع رادیویی<sup>۸</sup>

این مقاله در تاریخ ۸ بهمن ماه ۱۳۸۷ دریافت و در تاریخ ۸ مرداد ماه ۱۳۸۸ بازنگری شد. این تحقیق در دانشکده مهندسی برق و کامپیوتر دانشگاه یزد و بر اساس طرح پژوهشی شماره ۵۰/پ/۶۰۰/۱ انجام شده است.

محمد رضا تابان، دانشکده مهندسی برق و کامپیوتر، دانشگاه یزد، صفاییه، یزد، (email: mrtaban@yazduni.ac.ir)

1. Coherent
2. Moderately Fluctuation
3. Suboptimum
4. Neyman Pearson
5. False Alarm Probability
6. Detection Probability
7. Swerling
8. Radar Cross Section

9. Slowly Fluctuation
10. Rapid Fluctuation
11. Scholtz
12. Di Franco

نمونه دریافتی برای آشکارسازی استفاده شده و لذا داده‌ها به صورت برداری در نظر گرفته می‌شوند. پس از اشاره‌ای به تئوری آشکارسازی بهینه در بخش ۲، در بخش ۳ مدل‌های سیگنال و کلاتر مطرح می‌شوند. مدل مطرح شده برای سیگنال، کامل‌ترین مدل برای یک بردار سیگنال راداری بوده که در حالت‌های خاص، مدل‌های هدف با تموج آهسته و تموج سریع را نیز در بر می‌گیرد. ضمناً شیفت داپلر هدف معلوم فرض می‌شود.

در بخش ۴ برای مدل پیشنهادی سیگنال، آشکارساز مهم  $GLR^{11}$  به دست می‌آید و با مطرح‌ترین آشکارسازهای قبلی یعنی ECD و OF مورد مقایسه و ارزیابی قرار می‌گیرد. در بخش ۵ نیز با استفاده از شبیه‌سازی کامپیوتری، عملکرد آشکارسازها بررسی و مقایسه می‌شود.

## ۲- مسأله آشکارسازی

اگر  $H_0$  فرضیه عدم وجود هدف و  $H_1$  فرضیه وجود هدف و  $y$  بردار نمونه‌های دریافتی از یک سلول رادار باشند، مسأله آشکارسازی هدف در آن سلول راداری، معادل با تست دوفرضیه‌ای زیر است

$$\begin{cases} H_0 : y = n \\ H_1 : y = s + n \end{cases} \quad (1)$$

که  $n$  و  $s$  به ترتیب بردارهای کلاتر و سیگنال هستند. تعداد نمونه‌ها (طول بردارها) را  $N$  فرض می‌کنیم. در حالت هم‌دوس در باند پایه نمونه‌های نویز و سیگنال به صورت مختلط هستند و لذا در مدل دوفرضیه‌ای (۱) بردارهای موجود، همگی مختلط و به طول  $N$  فرض می‌شوند.

تحت شرایط فوق، آشکارساز بهینه بر اساس معیار NP به مقایسه تابع درست‌نمایی  $\Lambda(y)$  با یک سطح آستانه ثابت  $T$  منجر می‌شود که  $T$  به مقدار  $P_{fa}$  مورد نظر بستگی دارد [۱۳]

$$\Lambda(y) = \frac{f_y(y | H_1)}{f_y(y | H_0)} > T \quad (2)$$

که در آن  $f_y(y | \cdot)$  تابع چگالی احتمال شرطی  $y$  است. اگر تابع چگالی احتمال بردار کلاتر  $f_n(n)$  معلوم باشد، با فرض این که بردار سیگنال  $s$  دارای یک توصیف تحلیلی باشد، رابطه آزمون (۲) به صورت زیر قابل بیان است

$$\Lambda(y) = \int_{\Gamma_s} \frac{f_n(y-s)}{f_n(y)} f_s(s) ds > T \quad (3)$$

که در آن  $f_s(s)$  تابع چگالی احتمال پارامترهای تصادفی  $s$  روی فضای نمونه‌ای  $\Gamma_s$  است. متأسفانه برای مدل‌های دقیق، آزمون بهینه (۳) به حل بسته منجر نمی‌شود ولی می‌توان به روش‌های شبه‌بهینه رسید.

## ۳- مدل سازی سیگنال و کلاتر

تابع چگالی احتمال گوسی یا نرمال یکی از متداول‌ترین توزیع‌ها برای توصیف آماری کلاتر می‌باشد. اگر بردار کلاتر  $n$ ، مختلط با طول  $N$  و دارای توزیع گوسی با میانگین صفر و ماتریس کوواریانس  $C_n$  باشد، تابع چگالی احتمال  $n$  از رابطه زیر به دست می‌آید [۴]

شولتز در [۵] برای آشکارسازی اهداف متموج دو ساختار برای گیرنده معرفی می‌کند و عملکرد آنها را بر روی پالس‌هایی که دارای همبستگی هستند ارزیابی می‌کند. فارینا<sup>۱</sup> و روسو<sup>۲</sup> در [۱۲] به بررسی این مسأله با استفاده از روش‌های برگشتی پرداختند. آلوئیسو<sup>۳</sup> و همکاران در [۷] برای آشکارسازی هم‌دوس اهداف راداری متموج در نویز گوسی با در نظر گرفتن ساختار آشکارساز به صورت یک فیلتر خطی به علاوه یک آشکارساز توان، اقدام به یافتن رابطه فیلتر بهینه بر اساس ماکزیمم کردن سیگنال به نویز در خروجی آشکارساز کرده و روابط  $P_d$  و  $P_{fa}$  را برای آن به فرم بسته به دست آوردند (آشکارساز  $OF^4$ ). اگرچه در آن مقاله از فرض گوسی بودن سیگنال و کلاتر استفاده شده ولی نتایج آن به حالت غیر گوسی می‌تواند تعمیم داده شود.

شاید مقاله آلوئیسو و همکاران در [۶] کامل‌ترین مقاله‌ای باشد که در زمینه آشکارسازی هم‌دوس اهداف راداری با تموج میانی انجام شده است. در این مقاله با فرض استقلال بردار تداخل (نویز به علاوه کلاتر) با بردار سیگنال، توزیع هر دو بردار، گوسی با میانگین صفر و ماتریس کوواریانس معلوم فرض شده است. در آن مقاله با پرداختن به مسأله آشکارسازی یک سیگنال گوسی در یک نویز گوسی به آشکارساز معروف تخمین‌زن - همبستگی‌یاب<sup>۵</sup> (ECD) با ساختار مربعی، به عنوان آشکارساز بهینه می‌رسد. سپس روابط  $P_d$  و  $P_{fa}$  را به فرم بسته و بر حسب مقادیر ویژه یک ماتریس به دست می‌آورد. سپس با در نظر گرفتن فضایی که پایه‌های آن را بردارهای ویژه یک ماتریس تشکیل می‌دهند، به نوعی آشکارساز به دست آمده را پیاده‌سازی می‌کند. نهایتاً عملکرد آشکارساز به دست آمده را در برابر آشکارساز [۷] مورد ارزیابی قرار می‌دهد.

در [۸] دی ویتو<sup>۶</sup> و همکارش به بررسی مقاوم بودن<sup>۷</sup> آشکارساز پیشنهادی در [۶] می‌پردازند و میزان عدم قطعیت در ضریب همبستگی، شکل تابع کوواریانس و متوسط فرکانس هدف را بر عملکرد آشکارساز بررسی کرده و به نتایج مقبولی دست می‌یابند. دو مقاله اخیر اگرچه تکامل یافته‌ترین مقالات در زمینه آشکارسازی هم‌دوس اهداف راداری با تموج میانی در کلاتر هستند ولی مانند مقالات قبلی دارای یک ضعف اساسی در مدل سازی هستند و آن گوسی فرض کردن سیگنال هدف با تموج میانی در حالت هم‌دوس است؛ در حالی که در این مقاله نشان می‌دهیم که این فرض دقیق نیست.

در زمینه آشکارسازی یک سیگنال تصادفی با ماتریس کوواریانس معلوم در یک بردار تصادفی سفید، در [۹] چهار آشکارساز با ساختار معلوم صرفاً مورد بررسی و مقایسه قرار گرفته‌اند: آشکارساز انرژی، آشکارساز زیرفضای منطبق<sup>۸</sup>، آشکارساز ماکزیمم انکسار<sup>۹</sup> مربعی و آشکارساز انطباق‌کننده طیفی<sup>۱۰</sup> که همگی آشکارسازهای شناخته شده‌ای بوده و حالت خاصی از آشکارساز ECD در حالت حدی می‌باشند.

در این مقاله به آشکارسازی هم‌دوس هدف با تموج میانی در کلاتر می‌پردازیم. توزیع کلاتر به صورت گوسی در نظر گرفته می‌شود. از چند

1. Farina
2. Russo
3. Aloisio
4. Optimal Filter
5. Estimator Correlator Detector
6. Di Vito
7. Robustness
8. Matched Subspace
9. Maximum Deflection
10. Spectrum Matching

11. Generalized Likelihood Ratio

12. Likelihood Ratio Function

$$f_r(r) = \frac{r}{P_r} \exp\left\{-\frac{r^2}{P_r}\right\}, \quad r > 0 \quad (9)$$

مدل‌های سورلینگ در حالت ناهمدوس و بدون در نظر گرفتن فاز مطرح می‌شدند. در [۴] با تعمیم مدل‌های سورلینگ به مدل سیگنال مختلط در آشکارسازی همدوس، مدل‌های مشابهی تحت عنوان مدل‌های شبه‌سورلینگ مطرح شدند.

بر مبنای توضیحات بیان‌شده به‌راحتی بر اساس رابطه مدل تحلیلی نمونه‌های سیگنال در حالت همدوس، یعنی (۷)، مشخص می‌شود که در حالت تموج آهسته، دامنه‌های  $r_k$  مقدار یکسانی مانند  $r$  خواهند شد و در حالت تموج سریع، دامنه‌های  $r_k$  متغیرهای تصادفی مستقل و با توزیع یکسان هستند. برای حالتی که متغیرهای تصادفی  $r_k$  متفاوت و دارای همبستگی هستند، این مدل به‌راحتی توصیف‌کننده تحلیلی سیگنال هدف با تموج میانی است. در این حالت بردار سیگنال به‌صورت زیر قابل نوشتن است

$$\underline{s} = D \underline{r} e^{j\phi} \quad (10)$$

که  $\underline{r}$  بردار شامل دامنه نامنفی نمونه‌ها به‌صورت  $[r_1, r_2, \dots, r_N]^T$  و  $D$  یک ماتریس قطری به‌صورت زیر است

$$D = \text{diag}(\lambda, e^{j\Omega}, e^{j2\Omega}, \dots, e^{j(N-1)\Omega}) \quad (11)$$

منطقاً فرض می‌کنیم که دامنه نمونه‌های  $r_k$  دارای توزیع یکسان باشند که آن را بر مبنای بحث انجام‌گرفته در زیربخش قبلی، رایلی با توان  $P_r$  مطابق (۹) فرض می‌کنیم. ضمناً همبستگی بین نمونه‌های  $r_k$  را با ماتریس همبستگی  $R_r$  و یا ماتریس کوواریانس  $C_r$  به‌صورت زیر توصیف می‌کنیم

$$R_r = E \underline{r} \underline{r}^T \quad (12)$$

$$C_r = E \tilde{\underline{r}} \tilde{\underline{r}}^T = E (\underline{r} - \underline{m}_r)(\underline{r} - \underline{m}_r)^T \quad (13)$$

که در آن  $\underline{m}_r$  میانگین بردار دامنه  $\underline{r}$  می‌باشد. اگر مقدار توان دامنه نمونه‌های سیگنال رایلی مقدار  $P_r$  باشد، مقدار میانگین هر یک برابر  $\sqrt{\pi/4 P_r}$  خواهد شد و لذا  $\underline{m}_r$  به‌صورت زیر است

$$\underline{m}_r = \sqrt{\frac{\pi}{4} P_r} [1 \quad 1 \quad \dots \quad 1 \quad 1]^T \quad (14)$$

ماتریس کوواریانس  $C_r$  ماتریسی معلوم فرض می‌شود که در دو حالت نمایی و گوسی به‌صورت زیر است [۶] و [۷]

$$C_{r,ij} = P_r \left(1 - \frac{\pi}{4}\right) \rho^{|i-j|} \quad (\text{فرم گوسی}) \quad (15)$$

$$C_{r,ij} = P_r \left(1 - \frac{\pi}{4}\right) \rho^{|i-j|} \quad (\text{فرم نمایی}) \quad (16)$$

در مدل سیگنال ارائه‌شده در (۱۰)،  $\phi$  یک متغیر تصادفی یکنواخت در فاصله  $[0, 2\pi]$  و مستقل از  $\underline{r}$  می‌باشد. ضمناً اگر از فرض شیفت داپلر معلوم هدف استفاده شود  $\Omega$  یک عدد معلوم در فاصله  $[0, 2\pi]$  خواهد بود.

اگر به مدل تحلیلی بردار سیگنال در (۱۰) توجه گردد، ملاحظه می‌شود که بردار  $\underline{s}$  گوسی نخواهد بود. کافی است جمع دو مؤلفه اول و دوم آن را به‌صورت زیر در نظر بگیریم

$$s_1 + s_2 = (r_1 + r_2 e^{j\Omega}) e^{j\phi} \quad (17)$$

$$f_{\underline{n}}(\underline{n}) = \frac{1}{\pi^N \det(C_n)} \exp\{-\underline{n}^H C_n^{-1} \underline{n}\} \quad (4)$$

که در آن اپراتور  $H$  اشاره به هرمیشین ماتریس دارد. برای تابع کوواریانس کلاتر مدل‌های مختلفی مطرح شده است که متداول‌ترین این مدل‌ها فرم گوسی [۶] و فرم نمایی [۱۴] با رابطه زیر هستند

$$C_{n,ij} = P_n \rho^{|i-j|} \quad (\text{فرم گوسی}) \quad (5)$$

$$C_{n,ij} = P_n \rho^{|i-j|} \quad (\text{فرم نمایی}) \quad (6)$$

که در این رابطه  $C_{n,ij}$  عنصر سطر  $i$ ام و ستون  $j$ ام ماتریس کوواریانس کلاتر،  $P_n$  توان هر نمونه کلاتر و  $\rho$  ضریب همبستگی نرمالیزه دو نمونه مجاور کلاتر می‌باشند. در این مقاله توزیع احتمال کلاتر گوسی و تابع کوواریانس بردار کلاتر در هر دو فرم گوسی و نمایی مورد توجه قرار می‌گیرد.

در آشکارسازی همدوس سیگنال رادار، فاز غیر داپلر چند نمونه متوالی از هدف مقدار یکسانی خواهد شد [۱]. از طرفی به‌خاطر شیفت داپلر ناشی از حرکت شعاعی هدف، فاز دیگری نیز به نمونه‌ها اعمال می‌شود که متغیر با زمان بوده و در PRF ثابت، نرخ تغییر آن مقدار ثابتی می‌باشد. اگر نمونه  $s_k$  مقدار  $k$  بردار سیگنال  $\underline{s}$  باشد، رابطه آن به‌صورت زیر خواهد شد

$$s_k = r_k e^{j\phi} e^{j(k-1)\Omega}, \quad k = 1, 2, \dots, N \quad (7)$$

که در آن  $r_k$  دامنه نمونه  $k$ ام و  $\phi$  فاز آن است که در حالت همدوس برای تمامی نمونه‌های  $\underline{s}$  مقدار یکسانی شده است.  $(k-1)\Omega$  فاز ناشی از شیفت داپلر هدف است که  $\Omega$  اختلاف فاز بین دو نمونه متوالی سیگنال، با شیفت داپلر هدف  $f_d$  دارای رابطه زیر است

$$\Omega = 2\pi \frac{f_d}{PRF} \quad (8)$$

در این مقاله، دامنه و فاز غیر داپلر نمونه‌ها را نامعلوم (تصادفی) فرض می‌کنیم. بر اساس مدل‌های معتبر، در این حالت فاز  $\phi$  را می‌توان به‌صورت یک متغیر تصادفی یکنواخت در فاصله  $[0, 2\pi]$  و مستقل از دامنه و شیفت داپلر هدف در نظر گرفت.

مدل‌های سورلینگ هنوز به‌عنوان معتبرترین و پرکاربردترین مدل‌ها برای توصیف آماری دامنه سیگنال هدف متموج به‌کار می‌روند. وی اهداف راداری را به دو دسته با تموج آهسته و با تموج سریع تقسیم نمود و برای هر دسته، دو تابع توزیع احتمال رایلی و کای<sup>۱</sup> را برای دامنه نمونه‌های هدف پیشنهاد کرد [۱۵] و [۱۶]. از آنجا که توزیع کای برای اهداف بزرگ با تعداد زیادی انعکاس‌دهنده مناسب‌تر می‌باشد، لذا در تحقیقات توجه کمتری به آن شده است و استفاده از تابع توزیع احتمال رایلی، متداول‌ترین انتخاب برای دامنه هدف می‌باشد. لذا در این مقاله از توزیع رایلی برای توصیف آماری دامنه نمونه‌های هدف در شبیه‌سازی‌ها استفاده شده است. با توجه به این که در به‌دست آوردن روابط آشکارسازهای مورد استفاده و آشکارساز پیشنهادی، از تابع توزیع دامنه هدف استفاده نشده است، این انتخاب تأثیری بر روابط مربوط به آشکارسازی نخواهد گذاشت و تنها تأثیر آن در شبیه‌سازی سیگنال و بررسی و مقایسه عملکرد آشکارسازها می‌باشد. اگر دامنه  $r_k$  دارای توزیع رایلی با توان  $P_r$  باشد در این صورت تابع چگالی احتمال آن به‌صورت زیر خواهد بود

$$h(\underline{y} - \underline{s}) = (\underline{y} - \underline{s})^H C_n^{-1} (\underline{y} - \underline{s}) \quad (25)$$

اگر  $\underline{s}$  دارای  $N_s$  پارامتر ناهمبسته  $t_i$  باشد، برای انجام بهینه‌سازی می‌توانیم از مشتق به صورت زیر استفاده کنیم

$$\frac{\partial h(\underline{y} - \underline{s})}{\partial t_i} = 0, \quad i = 1, 2, \dots, N_s \quad (26)$$

و از حل  $N_s$  معادله  $N_s$  مجهول به دست آمده، تخمین  $t_i$  و یا همان تخمین  $\hat{\underline{s}}_{ML}$  را به دست آوریم.

با توجه به مدل ارائه شده برای هدف با ترمیم میانی در (۱۰)، بردار  $\underline{s}$  دارای  $N + 1$  متغیر مجهول  $\phi, r_1, r_2, \dots, r_N$  می‌باشد. لذا در گام اول اقدام به تخمین ML از  $N + 1$  متغیر فاز و دامنه می‌کنیم.

در مدل (۱۰) توجه شود که متغیرهای  $\phi$  و  $r$  حقیقی بوده و  $D$  یک ماتریس قطری است؛ لذا

$$\underline{r}^H = \underline{r}^T, \quad D^H = D^* \quad (27)$$

ضمناً در عملیات دستیابی به روابط آزمون، دائماً از ویژگی تقارن هرمیتی ماتریس‌های کوواریانس (یا معکوس آنها) استفاده خواهیم کرد.

لذا تخمین پارامترهای مجهول و ناهمبسته  $\phi, r_1, r_2, \dots, r_N$  از مینیمم‌سازی تابع زیر به دست می‌آید

$$h(\underline{y} - \underline{s}) = (\underline{y} - D \underline{r} e^{j\phi})^H C_n^{-1} (\underline{y} - D \underline{r} e^{j\phi}) \quad (28)$$

و یا

$$h(\underline{y} - \underline{s}) = \underline{y}^H C_n^{-1} \underline{y} + \underline{r}^T D^* C_n^{-1} D \underline{r} - \underline{y}^H C_n^{-1} D \underline{r} e^{j\phi} - \underline{r}^T D^* C_n^{-1} \underline{y} e^{-j\phi} \quad (29)$$

برای انجام بهینه‌سازی از مشتق‌گیری استفاده می‌کنیم. ابتدا از تابع  $h(\underline{y} - \underline{s})$  بر حسب بردار  $\underline{r}$  گرادیان گرفته و حاصل را صفر قرار می‌دهیم

$$\nabla_{\underline{r}} h(\underline{y} - \underline{s}) = (D^* C_n^{-1} D + D C_n^{-T} D^*) \underline{r} - D C_n^{-T} \underline{y} e^{j\phi} - D^* C_n^{-1} \underline{y} e^{-j\phi} = 0 \quad (30)$$

و با تعریف ماتریس  $G$  به صورت زیر

$$G = D^* C_n^{-1} D + D C_n^{-T} D^* \quad (31)$$

بر بردار  $\underline{r}$  بر حسب  $\phi$  به صورت زیر به دست می‌آید

$$\underline{r} = G^{-1} (D C_n^{-T} \underline{y} e^{j\phi} - D^* C_n^{-1} \underline{y} e^{-j\phi}) \quad (32)$$

با توجه تقارن هرمیتی ماتریس‌های  $C_n^{-1}$  و  $C_n^{-T}$ ، ماتریس  $G$  نیز دارای تقارن هرمیتی خواهد بود. از طرفی اگر از طرفین (۳۱) ترانزاده گرفته شود مجدداً همان  $G$  حاصل می‌شود. به عبارت دیگر

$$G = G^T = G^H = G^* \quad (33)$$

لذا ماتریس  $G$  یک ماتریس حقیقی و دارای تقارن معمولی و هرمیتی بوده و این ویژگی‌ها برای معکوس آن نیز برقرار است

$$G^{-1} = G^{-T} = G^{-H} = (G^{-1})^* \quad (34)$$

در (۳۲) در تخمین  $\underline{r}$  هنوز متغیر مجهول  $\phi$  وجود دارد که باید تخمین زده شود. برای سادگی ابتدا متغیر واسطه زیر را در نظر می‌گیریم

$$\underline{z} = D^* C_n^{-1} \underline{y} \quad (35)$$

و لذا (۳۲) به صورت زیر درآمده

در این ترکیب حتی اگر  $\Omega = 0$  و  $r_1$  و  $r_2$  مستقل فرض شوند توزیع  $r_1 + r_2$  رابلی نخواهد شد و لذا  $s_1 + s_2$  یک متغیر تصادفی گوسی نیست. در نتیجه بردار  $\underline{s}$  گوسی نخواهد شد. بنابراین در حالت هم‌دوس، چه در حالت داپلر معلوم و چه در حالت داپلر نامعلوم و چه برای اهداف با ترمیم سریع و چه برای اهداف با ترمیم میانی، بردار  $\underline{s}$  گوسی نخواهد بود و استفاده از این فرض در مقالات قبلی، فرض چندان مطمئنی نمی‌باشد.

در حالت شیفت داپلر معلوم،  $\Omega$  و لذا ماتریس قطری  $D$ ، کاملاً معلوم هستند. در چنین حالتی میانگین و ماتریس کوواریانس بردار  $\underline{s}$  (به صورت زیر محاسبه می‌شوند)

$$E \underline{s} = 0 \quad (18)$$

$$C_s = R_s = D R_r D^* \quad (19)$$

که در آن اپراتور \* اشاره به مزدوج ماتریس دارد. لذا  $C_s$  نیز معلوم است.

#### ۴- آشکارسازی شبه‌بهینه

آزمون آشکارساز بهینه بر اساس معیار NP از (۳) به دست می‌آید. اگر هیچ اطلاع قبلی از توابع احتمال بردار سیگنال نداشته باشیم و یا در صورت وجود این توابع احتمال، حل انتگرال رابطه فوق امکان‌پذیر نباشد، باید سراغ روش‌های تقریبی برای حل رابطه فوق برویم که اصطلاحاً به آزمون‌های حاصل، شبه‌بهینه گوئیم.

#### ۴-۱ آزمون GLR

آزمون GLR یکی از مهم‌ترین و متداول‌ترین آزمون‌ها برای تحقق شبه‌بهینه آشکارسازی است [۱۳]. اگر در (۳)، بردار  $\underline{s}$  کاملاً معلوم باشد آنگاه آزمون به صورت زیر در می‌آید

$$\Lambda(\underline{y}) = \frac{f_{\underline{n}}(\underline{y} - \underline{s})}{f_{\underline{n}}(\underline{y})} \underset{H_0}{\overset{H_1}{>}} T \quad (20)$$

بر این اساس در آزمون GLR، ابتدا از روی بردار دریافتی  $\underline{y}$ ،  $\underline{s}$  را تخمین حداکثر درست‌نمایی یا  $ML^1$  می‌زنند و سپس با فرض معلوم بودن  $\underline{s}$ ، از رابطه زیر آشکارساز را محقق می‌سازند

$$\Lambda(\underline{y}) = \frac{f_{\underline{n}}(\underline{y} - \hat{\underline{s}}_{ML})}{f_{\underline{n}}(\underline{y})} \underset{H_0}{\overset{H_1}{>}} T \quad (21)$$

که  $\hat{\underline{s}}_{ML}$  تخمین ML از  $\underline{s}$  توسط  $\underline{y}$  می‌باشد و دارای رابطه زیر است

$$\hat{\underline{s}}_{ML} = \arg \max_{\underline{s}} \{f_{\underline{n}}(\underline{y} - \underline{s})\} \quad (22)$$

اگر بردار کلاتر  $\underline{n}$  گوسی با میانگین صفر و ماتریس کوواریانس معلوم  $C_n$  باشد، با استفاده از رابطه (۲۱)، آزمون GLR به صورت

$$\underline{y}^H C_n^{-1} \underline{y} - (\underline{y} - \hat{\underline{s}}_{ML})^H C_n^{-1} (\underline{y} - \hat{\underline{s}}_{ML}) \underset{H_0}{\overset{H_1}{>}} T \quad (23)$$

و تخمین  $\hat{\underline{s}}_{ML}$  از رابطه زیر به دست می‌آیند

$$\hat{\underline{s}}_{ML} = \arg \min_{\underline{s}} \{(\underline{y} - \underline{s})^H C_n^{-1} (\underline{y} - \underline{s})\} \quad (24)$$

برای سادگی اسم تابع داخل آکولاد را  $h(\underline{y} - \underline{s})$  می‌گذاریم

$$h_{\min} = \underline{y}^H C_n^{-1} \underline{y} - \underline{z}^H G^{-1} \underline{z} - \nu \left| \underline{z}^T G^{-1} D C_n^{-T} D^* G^{-1} \underline{z} \right| \quad (۴۶)$$

و لذا آزمون GLR به صورت زیر به دست می آید

$$\underline{z}^H G^{-1} \underline{z} + \nu \left| \underline{z}^T G^{-1} D C_n^{-T} D^* G^{-1} \underline{z} \right| \begin{matrix} > \\ < \end{matrix} T \quad (۴۷)$$

با تعریف بردار کمکی به صورت زیر

$$\underline{u} = G^{-1} \underline{z} = G^{-1} D^* C_n^{-1} \underline{y} \quad (۴۸)$$

آزمون GLR نهایتاً به صورت زیر خواهد شد

$$\underline{u}^H G \underline{u} + \nu \left| \underline{u}^T D^* C_n^{-T} D \underline{u} \right| \begin{matrix} > \\ < \end{matrix} T \quad (۴۹)$$

در حالت حدی که همبستگی بین نمونه‌های دامنه سیگنال بسیار کم می‌شود، آزمون GLR به دست آمده با آشکارساز GLR اهداف راداری با موج سریع در [۱۷] یکی می‌گردد. ضمناً شبیه‌سازی‌های کامپیوتری نشان می‌دهند که در حالتی که همبستگی بین نمونه‌ها بسیار زیاد می‌شود عملکرد این آشکارساز بر عملکرد آشکارساز GLR اهداف راداری با موج آهسته منطبق می‌گردد (بخش ۵).

#### ۴-۲ سایر آشکارسازها

اگر بردار سیگنال را گوسی و مستقل از تداخل (ترکیب کلاتر و نویز) فرض کرده و در ضمن بردار تداخل را نیز به صورت یک بردار گوسی در نظر گیریم، آشکارسازی بهینه به آشکارسازی یک سیگنال گوسی در نویز گوسی تبدیل می‌شود که تحقق‌پذیر بوده و به آشکارساز تخمین‌زن - همبستگی‌یاب یا ECD منجر می‌شود [۱۸]. در بخش قبلی نشان دادیم که فرض گوسی بودن بردار سیگنال هدف با موج میانی دقیق نبوده و لذا چنین آشکارسازی دیگر بهینه نخواهد بود.

روش‌های دیگری نیز مطرح می‌شوند که عملاً به توزیع احتمال کلاتر و سیگنال بستگی ندارند. از این روش‌ها می‌توان به آشکارسازهای با ساختار معلومی مانند آشکارساز خطی اشاره کرد که بردار ضرایب آن به نحوی تعیین می‌شود که نسبت سیگنال به نویز در خروجی فیلتر خطی ماکزیمم گردد.

#### ۴-۲-۱ آشکارساز ECD

در مدل تست دوفرضیه‌ای (۱)، اگر بردارهای کلاتر  $\underline{n}$  و سیگنال  $\underline{s}$  را مستقل و گوسی با میانگین‌های صفر و ماتریس کوواریانس به ترتیب  $C_s$  و  $C_n$  فرض کنیم، به راحتی ثابت می‌شود که آزمون بهینه آشکارسازی به رابطه زیر منجر می‌گردد [۱۸]

$$Z = \underline{y}^H C \underline{y} \begin{matrix} > \\ < \end{matrix} T \quad (۵۰)$$

که ماتریس  $C$  از رابطه زیر به دست می‌آید

$$C = C_n^{-1} - (C_n + C_s)^{-1} \quad (۵۱)$$

و آشکارساز به دست آمده همان ECD می‌باشد.

در رابطه با مدل دقیق‌تری که در این مقاله مطرح شده است، این آشکارساز الزاماً بهینه نیست و در آن  $C_s$  به صورت زیر محاسبه می‌شود

$$C_s = D R_r D^* \quad (۵۲)$$

$$\underline{r} = G^{-1} (\underline{z}^* e^{j\phi} + \underline{z} e^{-j\phi}) \quad (۳۶)$$

و با جایگذاری آن در (۲۹) داریم

$$h(\underline{y} - \underline{\bar{s}}) = \underline{y}^H C_n^{-1} \underline{y} + (\underline{z}^T e^{-j\phi} + \underline{z}^H e^{j\phi}) G^{-1} D^* C_n^{-1} D G^{-1} (\underline{z} e^{-j\phi} + \underline{z}^* e^{j\phi}) - \underline{z}^H G^{-1} (\underline{z} e^{-j\phi} + \underline{z}^* e^{j\phi}) e^{j\phi} - (\underline{z}^T e^{-j\phi} + \underline{z}^H e^{j\phi}) G^{-1} \underline{z} e^{-j\phi} \quad (۳۷)$$

که منظور از  $\underline{\bar{s}}$  همان  $\underline{s}$  است که بخشی از آن توسط (۳۲) بهینه‌سازی شده است. با ساده کردن این رابطه داریم

$$h(\underline{y} - \underline{\bar{s}}) = \underline{y}^H C_n^{-1} \underline{y} + \underline{z}^T G^{-1} D^* C_n^{-1} D G^{-1} \underline{z}^* + \underline{z}^H G^{-1} D^* C_n^{-1} D G^{-1} \underline{z} - \nu \underline{z}^H G^{-1} \underline{z} + \underline{z}^H G^{-1} (D^* C_n^{-1} D - G) G^{-1} \underline{z}^* e^{j\nu\phi} + \underline{z}^T G^{-1} (D^* C_n^{-1} D - G) G^{-1} \underline{z} e^{-j\nu\phi} \quad (۳۸)$$

با توجه به اسکالربودن تک تک جملات عبارت فوق داریم

$$\underline{z}^T G^{-1} D^* C_n^{-1} D G^{-1} \underline{z}^* = (\underline{z}^T G^{-1} D^* C_n^{-1} D G^{-1} \underline{z}^*)^T = \underline{z}^H G^{-1} D C_n^{-T} D^* G^{-1} \underline{z} \quad (۳۹)$$

و در نتیجه

$$\underline{z}^T G^{-1} D^* C_n^{-1} D G^{-1} \underline{z}^* + \underline{z}^H G^{-1} D^* C_n^{-1} D G^{-1} \underline{z} = \underline{z}^H G^{-1} \underline{z} \quad (۴۰)$$

و لذا (۳۸) به صورت زیر درمی‌آید

$$h(\underline{y} - \underline{\bar{s}}) = \underline{y}^H C_n^{-1} \underline{y} - \underline{z}^H G^{-1} \underline{z} - \underline{z}^H G^{-1} D C_n^{-T} D^* G^{-1} \underline{z}^* e^{j\nu\phi} - \underline{z}^T G^{-1} D C_n^{-T} D^* G^{-1} \underline{z} e^{-j\nu\phi} \quad (۴۱)$$

به علت اسکالربودن تک تک جملات عبارت فوق داریم

$$(\underline{z}^H G^{-1} D C_n^{-T} D^* G^{-1} \underline{z}^* e^{j\nu\phi})^* = (\underline{z}^H G^{-1} D C_n^{-T} D^* G^{-1} \underline{z}^* e^{j\nu\phi})^H = \underline{z}^T G^{-1} D C_n^{-T} D^* G^{-1} \underline{z} e^{-j\nu\phi} \quad (۴۲)$$

یعنی دو جمله آخر مزدوج هم بوده و می‌توان نوشت

$$h(\underline{y} - \underline{\bar{s}}) = \underline{y}^H C_n^{-1} \underline{y} - \underline{z}^H G^{-1} \underline{z} - \nu \left| \underline{z}^T G^{-1} D C_n^{-T} D^* G^{-1} \underline{z} \right| \times \cos(\angle(\underline{z}^T G^{-1} D C_n^{-T} D^* G^{-1} \underline{z}) - \nu\phi) \quad (۴۳)$$

با توجه به ضریب منفی تابع کسینوس در عبارت فوق، آن مقداری از  $\phi$ ،  $h(\underline{y} - \underline{\bar{s}})$  را مینیمم می‌کند که تابع کسینوس را ماکزیمم کند و با توجه به این که تابع کسینوس در زاویه صفر، ماکزیمم می‌شود لذا تخمین ML از  $\phi$  به صورت زیر به دست می‌آید

$$\hat{\phi}_{ML} = \frac{1}{\nu} \angle(\underline{z}^T G^{-1} D C_n^{-T} D^* G^{-1} \underline{z}) \quad (۴۴)$$

و با جایگذاری  $\hat{\phi}_{ML}$  در (۳۶) تخمین ML از  $\underline{r}$  به دست می‌آید

$$\hat{\underline{r}}_{ML} = G^{-1} (\underline{z}^* e^{j\hat{\phi}_{ML}} + \underline{z} e^{-j\hat{\phi}_{ML}}) \quad (۴۵)$$

و با جایگذاری مقادیر تخمین زده شده در  $h(\underline{y} - \underline{\bar{s}})$  مقدار مینیمم آن به صورت زیر حاصل می‌شود

کلاتر)، کافی است یک بردار تصادفی مختلط گوسی سفید را از یک فیلتر نوآوری با ماتریس نوآوری  $L$  عبور داد که  $L$  از تجزیه ماتریس  $C_n$  به صورت زیر به دست می آید

$$C_n = LL^H \quad (60)$$

در تولید بردار سیگنال،  $\Omega$  مقدار معلوم و  $\phi$  متغیر تصادفی با توزیع یکنواخت در فاصله  $[0, 2\pi]$  بوده و  $r$  یک بردار تصادفی حقیقی و نامنفی می باشد که عناصر آن دارای توزیع رایلی فرض می شوند و دارای ماتریس همبستگی و کوواریانس معلوم به ترتیب  $R_r$  و  $C_r$  می باشد. اگر  $r$  دارای میانگین  $m_r$  بوده و توان نمونه های آن  $P_r$  باشد به راحتی ثابت می شود

$$m_r = \sqrt{\frac{\pi}{4}} P_r [1 \quad 1 \quad \dots \quad 1]^T \quad (61)$$

و لذا رابطه بین مؤلفه های  $R_r$  و  $C_r$  به صورت زیر است

$$R_{r,ij} = C_{r,ij} + \frac{\pi}{4} P_r \quad (62)$$

بررسی های دقیق بر مبنای شبیه سازی کامپیوتری با حجم بالای داده، نشان می دهد که برای تولید یک بردار تصادفی با نمونه های رایلی که دارای همبستگی با ماتریس همبستگی  $R_r$  (یا ماتریس کوواریانس  $C_r$ ) باشد (مانند  $r$ ) می توانیم از بردار دامنه یک بردار تصادفی مختلط گوسی با میانگین صفر و ماتریس کوواریانس  $M$  و توان نمونه های واحد استفاده کنیم (آن را  $g$  می نامیم) که دامنه نمونه های آن، بردار تصادفی رایلی مورد نظر را به ما می دهد [۲۰]. برای سادگی  $P_r = 1$  در نظر گرفته می شود. شکل ۱ بلوک دیاگرام تولید چنین بردار تصادفی را نشان می دهد. این بررسی ها نشان می دهند اگر  $\rho_{ij}$  ضریب همبستگی نمونه های  $r_i$  و  $r_j$  از بردار تصادفی رایلی  $r$  باشد، رابطه  $\rho_{ij}$  با  $C_{r,ij}$  و  $M_{ij}$  به صورت زیر است [۲۰]

$$\rho_{ij} = \frac{C_{r,ij}}{1 - \frac{\pi}{4}} = M_{ij}^r \quad (63)$$

که در آن  $M_{ij}$  مؤلفه سطر  $i$ ام و ستون  $j$ ام از ماتریس همبستگی بردار تصادفی گوسی رنگی  $g$  می باشد. لذا از (۶۲) و (۶۳) مؤلفه های  $M$ ، از روی مؤلفه های  $R_r$  به صورت زیر به دست می آیند

$$M_{ij} = \sqrt{\frac{R_{r,ij} - \frac{\pi}{4} P_r}{1 - \frac{\pi}{4}}} \quad (64)$$

با مشخص شدن  $M$ ، ماتریس نوآوری  $L_g$  از تجزیه زیر حاصل می شود

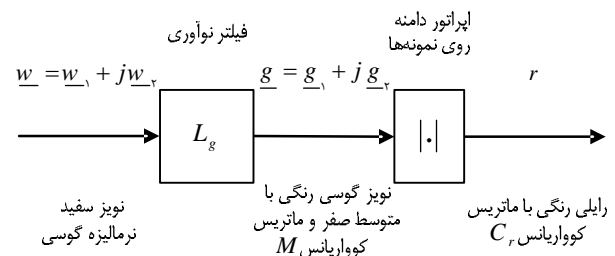
$$M = L_g L_g^H \quad (65)$$

در شبیه سازی ها، همبستگی نمونه های هدف را به دو صورت نمایی و گوسی با ضریب همبستگی  $\rho$  در نظر گرفته ایم که با استفاده از (۱۵)، (۱۶) و (۶۳) خواهیم داشت

$$M_{ij} = \sqrt{P_r} \rho^{\frac{1}{2}|i-j|} \quad (\text{فرم نمایی}) \quad (66)$$

$$M_{ij} = \sqrt{P_r} \rho^{\frac{1}{2}|i-j|^2} \quad (\text{فرم گوسی}) \quad (67)$$

مدل سازی و شبیه سازی به نحوی است که در حالتی که  $\rho \rightarrow 1$  مدل مذکور به سمت مدل هدف با تموج آهسته (سورلینگ I) و در حالتی که



شکل ۱: بلوک دیاگرام تولید بردار تصادفی رایلی با ماتریس کوواریانس  $C_r$ .

## ۴-۲-۲ آشکارساز OF

این آشکارساز در [۷] برای آشکارسازی اهداف با تموج میانی گوسی در تداخل گوسی مطرح و در [۶] نیز برای ارزیابی نسبی عملکرد ECD مورد استفاده قرار گرفته است. ما بر اساس مدل سیگنالی که در این مقاله مطرح کرده ایم، این روش را مورد بازنگری قرار داده و عملکرد آن را با دو آشکارساز قبلی مورد مقایسه قرار می دهیم. برای سادگی آن را فیلتر بهینه یا OF می نامیم. رابطه آشکارساز OF به صورت زیر است

$$Z = \left| \frac{W^H y}{W^H n} \right|^2 \begin{matrix} > T \\ < T \end{matrix} \quad (53)$$

و بردار ضرایب آشکارسازی  $W$ ، به نوعی انتخاب می شود تا سیگنال به نویز در خروجی فیلتر بیشینه شود. با توجه به تعریف سیگنال به نویز در خروجی فیلتر خطی یعنی  $(SNR)_O$  به صورت زیر

$$(SNR)_O = \frac{E |W^H s|^2}{E |W^H n|^2} = \frac{E (W^H s s^H W)}{E (W^H n n^H W)} \quad (54)$$

که اپراتور  $E(\cdot)$  به امید ریاضی اشاره دارد و با توجه به صفر بودن میانگین سیگنال در مدل مورد نظر داریم

$$(SNR)_O = \frac{W^H C_s W}{W^H C_n W} \quad (55)$$

و لذا بردار ضرایب فیلتر OF از رابطه زیر حاصل می گردد [۱۹]

$$W_{OLD} = E_{\min}(C_s^{-1} C_n) \quad (56)$$

که در آن اپراتور  $E_{\min}(A)$  اشاره به بردار ویژه نظیر با کوچک ترین مقدار ویژه ماتریس  $A$  دارد.

با توجه به رابطه  $C_s$  در (۵۲) داریم

$$C_s^{-1} = (D^*)^{-1} R_r^{-1} D^{-1} \quad (57)$$

و از آنجایی که  $D^{-1} = D^*$  می باشد لذا

$$C_s^{-1} = D R_r^{-1} D^* \quad (58)$$

و در نتیجه

$$W_{OF} = E_{\min}(D R_r^{-1} D^* C_n) \quad (59)$$

## ۵- شبیه سازی کامپیوتری و نتایج

### ۱-۵ تولید بردار کلاتر و سیگنال

یک بردار تصادفی مختلط گوسی سفید به راحتی توسط یک نرم افزار مانند matlab قابل تولید است. برای تولید یک بردار تصادفی مختلط گوسی رنگی با میانگین صفر و ماتریس کوواریانس  $C_n$  (مانند بردار

هشدار غلط ثابت نیز استفاده می‌کنیم. در رسم منحنی ROC، مقدار SNR را به نحوی در نظر می‌گیریم که منحنی در رنج مقادیر قابل قبولی از  $P_d$  ظاهر گردد ( $P_d$  از حوالی ۰.۵ تا یک). در رسم منحنی  $P_d$  بر حسب SNR، مقدار احتمال هشدار غلط را  $0.001$  در نظر می‌گیریم.

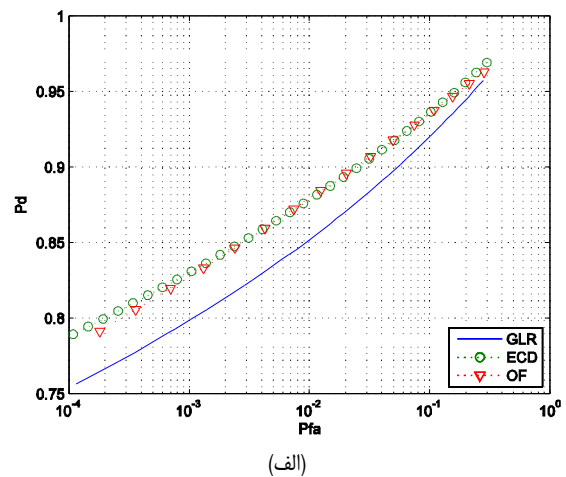
در شبیه‌سازی‌های قسمت‌های زیر، تعداد نمونه‌های پالس در هر بردار  $4$  ( $N = 4$ ) و پهنای باند نرمالیزه تابع چگالی طیف توان کلاتر نرمالیزه به PRF رادار  $0.1$  ( $scbw = 0.1$ ) در نظر گرفته می‌شوند. برای به دست آوردن هر منحنی، اجرای هر آشکارسازی یک میلیون بار روی مقادیر تصادفی جدید سیگنال و کلاتر در یک سلول برد انجام می‌گیرد.

در عمل مقدار شیفت داپلر هدف معلوم نیست ولی با توجه به این که استفاده از بانک فیلتر در آشکارسازی عملی رادار معمول می‌باشد، می‌توان شیفت داپلر را تقریباً در هر زیرباند بانک، معلوم فرض کرد. شبیه‌سازی‌های مختلف انجام شده در این تحقیق نشان می‌دهد عملکرد نسبی آشکارسازها نسبت به یکدیگر در فرکانس‌های مختلف داپلر مشابه می‌باشد و لذا بدون از دست دادن کلیت بحث، در این قسمت مقدار شیفت داپلر هدف (نرمالیزه به PRF رادار) را مقدار معلوم  $0.1$  ( $f_d = 0.1$ ) در نظر گرفته‌ایم.

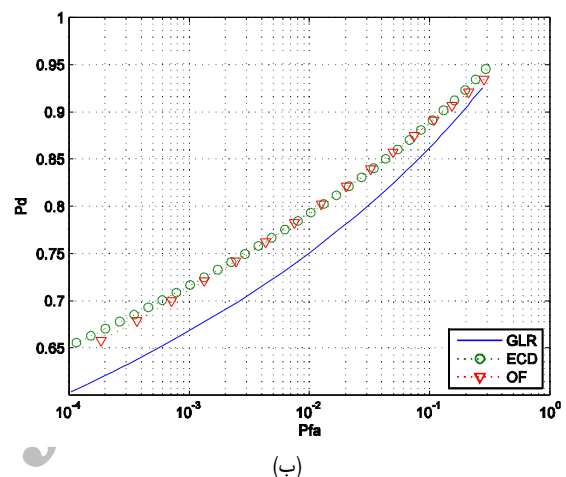
در حالتی که همبستگی بین دامنه‌های سیگنال هدف نامی باشد، شکل ۲ منحنی تغییرات  $P_d$  بر حسب  $P_{fa}$  آشکارسازهای GLR، ECD و OF را در مقادیر مختلف همبستگی نمونه‌های هدف نشان می‌دهد. مقدار ضریب همبستگی بین نمونه‌های هدف یا  $\rho$  از مقدار خیلی کوچک  $0.1$  شروع شده و پس از گرفتن مقدار  $0.5$  به مقدار خیلی نزدیک به یک یعنی  $0.995$  ختم می‌شود. یعنی در این شکل‌ها حالت‌های با موج میانی گوناگون به نحوی انتخاب شده‌اند که از نزدیک به حالت موج سریع ( $\rho = 0.1$ ) شروع شده و به نزدیک حالت موج آهسته ( $\rho = 0.995$ ) ختم می‌شود.

نتایج مهمی که با ملاحظه این حالت‌ها قابل جمع‌بندی است این است که اولاً آشکارساز ECD همیشه بهترین عملکرد را دارد. ثانیاً آشکارساز GLR که در ادبیات آشکارسازی بهینه به‌عنوان یک آشکارساز شبه‌بهینه خوش‌نام و معروف شناخته می‌شود در حالت با موج میانی عملکرد آن از ECD و حتی آشکارسازهای OF پایین‌تر است. البته توجه شود که هرچه همبستگی بین نمونه‌های هدف بیشتر شود (رفتن به سمت مدل موج آهسته)، عملکرد آشکارساز GLR به OF و ECD نزدیک‌تر می‌شود و این قابل انتظار است زیرا برای حالت هدف با موج آهسته آزمون‌های GLR، ECD و OF بر هم منطبق می‌شوند [۲۱] و [۲۲]. بر عکس، هرچه همبستگی بین نمونه‌های هدف کمتر شود، افت عملکرد آشکارساز GLR نسبت به دیگر آشکارسازها بیشتر شده و در حالت موج سریع به بیشترین انحراف می‌رسد. ثالثاً آشکارساز OF در تمامی این حالت‌ها عملکرد بسیار نزدیک به ECD داشته و جزو بهترین‌ها می‌باشد. شکل ۳ برای همان شرایط شکل ۲، منحنی تغییرات  $P_d$  بر حسب SNR آشکارسازهای GLR، ECD و OF را در مقادیر مختلف همبستگی هدف و به‌ازای  $P_{fa} = 0.001$  نشان می‌دهد. نتایج حاصل از مشاهدات روی این منحنی‌ها نیز نتایج شکل ۲ را تأیید می‌نماید.

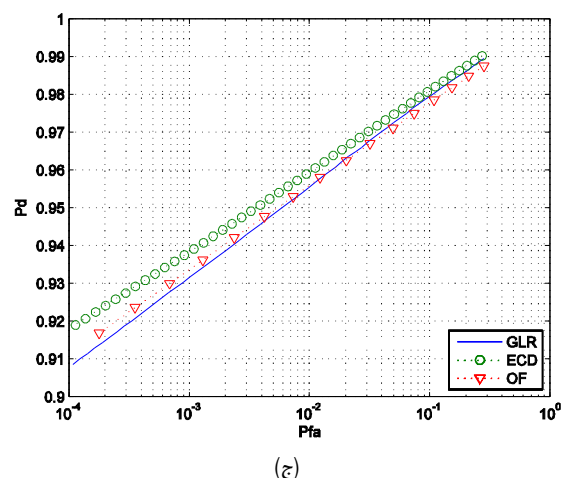
در حالتی که همبستگی دامنه هدف به‌صورت گوسی باشد و در شرایط مشابه حالت قبلی، شکل ۴ منحنی تغییرات  $P_d$  بر حسب  $P_{fa}$  و شکل ۵ منحنی تغییرات  $P_d$  بر حسب SNR آشکارسازهای مورد نظر را فقط به‌ازای ( $\rho = 0.5$ ) نشان می‌دهند. نتایج شبیه‌سازی نشان می‌دهد که عملکرد نسبی آشکارسازها در دو حالت همبستگی نمونه‌ها به‌صورت نامی و گوسی مشابه است. لذا در ادامه فقط همبستگی هدف به‌صورت نامی در نظر گرفته می‌شود.



(الف)



(ب)



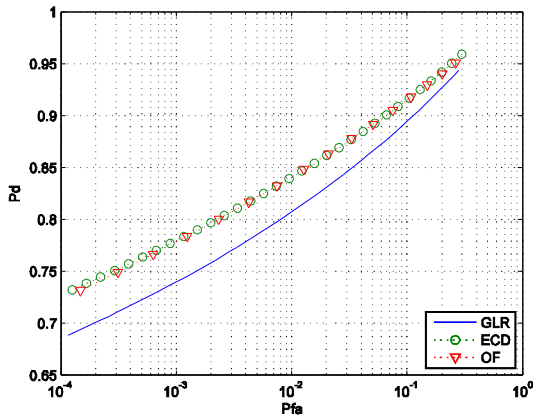
(ج)

شکل ۲: منحنی تغییرات  $P_d$  بر حسب  $P_{fa}$  آشکارسازها، در حالت کلاتر گوسی با  $scbw = 0.1$  و هدف با داپلر معلوم  $f_d = 0.1$  و همبستگی نامی برای میزان همبستگی مختلف، (الف)  $\rho = 0.1$ ، (ب)  $\rho = 0.5$  و (ج)  $\rho = 0.995$ .

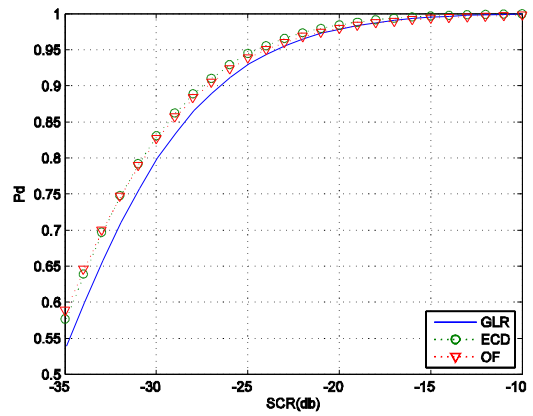
$\rho \rightarrow 0$  مدل مذکور به‌سمت مدل هدف با موج سریع (سورلینگ II) میل می‌کند.

## ۲-۵ بررسی عملکرد آشکارسازها

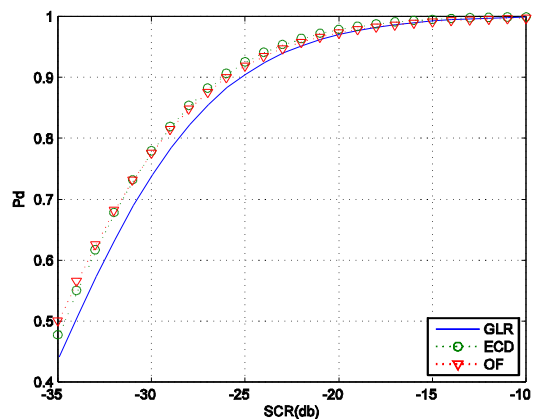
برای مقایسه عملکرد آشکارسازها از منحنی تغییرات احتمال آشکارسازی بر حسب احتمال هشدار غلط در یک سیگنال به نویز ثابت استفاده می‌کنیم که به  $ROC^1$  موسوم است. ضمناً از منحنی تغییرات احتمال آشکارسازی بر حسب تغییرات سیگنال به نویز در یک احتمال



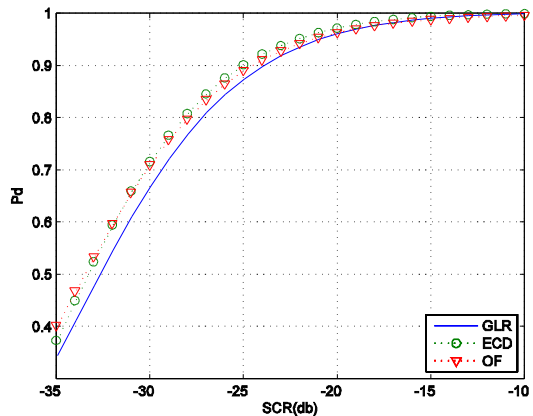
شکل ۴: منحنی تغییرات  $P_d$  بر حسب  $P_{fa}$  آشکارسازها، در حالت کلاتر گوسی با  $scbw = 0.1$  و هدف با داپلر معلوم  $f_d = 0.1$  و همبستگی گوسی برای همبستگی  $\rho = 0.5$ .



(الف)

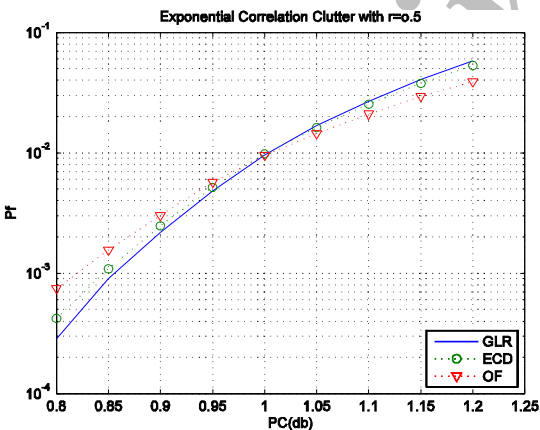


(ب)



(ج)

شکل ۵: منحنی تغییرات  $P_d$  بر حسب SNR آشکارسازها به ازای  $P_{fa} = 0.001$ ، در حالت کلاتر گوسی با  $scbw = 0.1$  و هدف با شیفت داپلر معلوم  $f_d = 0.1$  و همبستگی گوسی برای همبستگی  $\rho = 0.5$ .



شکل ۶: منحنی  $P_{fa}$  بر حسب تغییرات نسبی توان کلاتر به ازای  $P_{fa} = 0.001$  طراحی شده، در حالت کلاتر گوسی و  $scbw = 0.1$  و هدف با داپلر معلوم  $f_d = 0.1$  و همبستگی نسبی با ضریب همبستگی  $\rho = 0.5$ .

شکل ۳: منحنی تغییرات  $P_d$  بر حسب SNR آشکارسازها به ازای  $P_{fa} = 0.001$ ، در حالت کلاتر گوسی با  $scbw = 0.1$  و هدف با داپلر معلوم  $f_d = 0.1$  و همبستگی نسبی برای مقادیر همبستگی مختلف، (الف)  $\rho = 0.01$ ، (ب)  $\rho = 0.5$ ، (ج)  $\rho = 0.995$ .

در الگوریتم‌های آشکارسازی بیان شده، ماتریس کوواریانس کلاتر معلوم فرض می‌گردد. اگر فرض همبستگی نمایی یا گوسی بین نمونه‌های کلاتر را در نظر بگیریم، در عمل نیاز به تخمین دو پارامتر توان نمونه‌های کلاتر و ضریب همبستگی بین نمونه‌های کلاتر وجود دارد. برای بررسی و مقایسه حساسیت روش‌های آشکارسازی بیان شده نسبت به عدم قطعیت در تخمین این دو پارامتر، از شبیه‌سازی کامپیوتری در حالت‌های مختلف استفاده کرده‌ایم.

احتمال هشدار غلط بر روی  $P_{fa} = 0.001$  تنظیم شده و ضریب همبستگی دامنه نمونه‌های هدف  $\rho = 0.5$  است. ضمناً مشابه با بحث انجام شده در زیربخش قبلی، شیفت داپلر نرمالیزه  $f_d = 0.1$  و کلاتر با همبستگی نمایی و پهنای باند نرمالیزه  $scbw = 0.1$  در نظر گرفته می‌شود. ملاحظه می‌شود همگی این آشکارسازها نسبت به عدم قطعیت در تخمین توان کلاتر دارای تثبیت در احتمال هشدار غلط کمی هستند و رفتار آشکارسازها تقریباً مشابه است؛ اگرچه رفتار آشکارسازهای خطی OF اندکی بهتر از GLR و ECD است.

برای بررسی میزان مقاوم بودن آشکارسازها نسبت به عدم قطعیت توان کلاتر (CFAR ماندن)، منحنی تغییرات احتمال هشدار غلط واقعی آشکارسازها بر حسب تغییرات نسبی توان کلاتر (توان واقعی کلاتر نرمالیزه شده) به توان تخمین زده شده فرضی کلاتر) در شکل ۶ نشان داده شده است. در این مثال سطح آستانه آشکارسازی برای ایجاد تثبیت

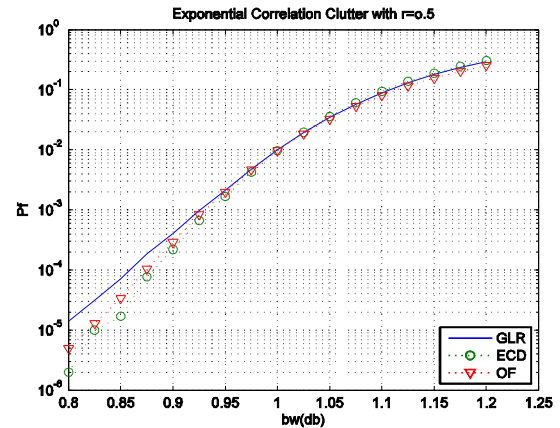


آشکارساز GLR بر خلاف بسیاری از موارد آشکارسازی بهینه که از عملکرد نزدیک به بهینه برخوردار است، برای چنین حالتی دارای عملکردی پایین تر از آشکارسازهای ECD و OF می باشد.

## مراجع

- [1] J. V. Di Franco and W. L. Rubin, *Radar Detection*, Artech House, 1980.
- [2] M. Barkat, *Signal Detection and Estimation*, Artech House, 1991.
- [3] P. Swerling, "Detection of fluctuating pulsed signals in the presence of noise," *IRE Trans. on IT*, vol. 3, no. 3, pp. 175-178, Apr. 1957.
- [4] M. M. Nayebi, M. R. Aref, and M. H. Bastani, "Detection of coherent radar signals with unknown Doppler shift," in *IEE Proc. Radar, Sonar and Navigation*, vol. 143, no. 2, pp. 79-86, Apr. 1996.
- [5] R. A. Scholtz, J. J. Kappl, and N. E. Nahi, "The detection of moderately fluctuating Rayleigh target," *IEEE Trans. on AES*, vol. 12, no. 2, pp. 117-126, Mar. 1976.
- [6] V. Aloisio, A. DiVito, and G. Galati, "Optimum detection of moderately fluctuating radar targets," in *IEE Proc. Radar, Sonar Naving*, vol. 141, no. 3, pp. 164-170, Jun. 1994.
- [7] V. Aloisio, A. DiVito, and G. Galati, "Optimization of Doppler filters for fluctuating radar targets," *IEICE Trans. on Commun.*, vol. 75-B, no. 10, pp. 1090-1099, Oct. 1992.
- [8] A. DiVito and M. Naldi, "Robustness of the likelihood ratio detector for moderately fluctuating radar targets," in *IEE Proc. Radar, Sonar Naving*, vol. 146, no. 2, pp. 107-112, Apr. 1999.
- [9] H. C. So, W. K. Ma, A. Farina, F. Gini, and W. Y. Tsui, "On four suboptimal quadratic detectors for random signals," *IEICE Trans. on Commun.*, vol. 88-B, no. 12, pp. 4527-4533, Dec. 2005.
- [10] M. Modarres Hashemi, M. M. Nayebi, and H. Alavi, "ALR detector for coherent radar detection of rapid fluctuating signals," *IEICE Trans. on Commun.*, vol. 83-B, no. 11, pp. 2519-2526, Nov. 2000.
- [11] P. Swerling, "Detection of radar echoes in noise revisited," *IEEE Trans. on IT*, vol. 12, no. 3, pp. 348-361, Jul. 1966.
- [12] A. Farina and A. Russo, "Radar detection of correlated targets in clutter," *IEEE Trans. on AES*, vol. 22, no. 5, pp. 513-532, Sep. 1986.
- [13] H. V. Poor, *An Introduction to Signal Detection and Estimation*, 2nd ed., Springer - Verlag, New York, 1994.
- [14] F. E. Nathanson, *Radar Design Principles*, McGraw Hill, New York, 1969.
- [15] P. Swerling, "Probability of detection for fluctuating target," *IRE Trans. on IT*, vol. 6, no. 2, pp. 273-308, Apr. 1960.
- [16] P. Swerling, "Radar probability of detection for some additional fluctuating targets cases," *IEEE Trans. on AES*, vol. 33, no. 2, pp. 698-709, Apr. 1997.
- [17] M. R. Taban, M. R. Aref, H. Alavi, and M. M. Nayebi, "Coherent radar detection of rapid fluctuating targets in pseudo-Gaussian clutter," in *Proc. of the Int. Conf. on Telecomm. ICT - 98*, vol. 4, pp. 460-464, Porto Carras, Greece, Jun. 1998.
- [18] T. Kailath, "A general likelihood ratio for random signals in Gaussian noise," *IEEE Trans. on IT*, vol. 15, no. 3, pp. 350-361, May 1969.
- [19] M. Schwartz, *Information Transmission, Modulation and Noise*, McGraw-Hill, 1989.
- [20] م. ر. تابان، آشکارسازی اهداف با موج میانی در کلاتر شبه گوسی، گزارش طرح پژوهشی، دانشگاه یزد، بهمن ۱۳۸۶.
- [21] M. M. Nayebi and M. R. Aref, "Optimal linear detection of Gaussian signals in Gaussian noise," in *Proc. of the Int. Conf. on Telecomm. ICT-94*, pp. 318-321, Dubai, UAE, Jan. 1994.
- [22] M. R. Taban, M. R. Aref, H. Alavi, and M. M. Nayebi, "Coherent optimal linear detector for radar detection in pseudo-Gaussian noise," in *Proc. of the Int. Conf. on Telecomm. ICT - 98*, vol. 4, pp. 393-397, Porto Carras, Greece, Jun. 1998.

**محمدرضا تابان** تحصیلات خود را در مقاطع کارشناسی مهندسی برق-الکترونیک و کارشناسی ارشد و دکترای مهندسی برق-مخابرات در سالهای ۱۳۶۹، ۱۳۷۲ و ۱۳۷۷ به ترتیب از دانشگاه‌های صنعتی اصفهان، تربیت مدرس و صنعتی اصفهان به پایان رسانیده است. هم‌اکنون دانشیار دانشکده مهندسی برق و کامپیوتر دانشگاه یزد می‌باشد. زمینه تحقیقاتی مورد علاقه ایشان عبارتند از: پردازش سیگنال دیجیتال، آشکارسازی و تخمین، سیستم‌های رادار.



شکل ۷: منحنی  $P_{fa}$  بر حسب تغییرات همبستگی کلاتر به ازای  $P_{fa} = 0.1$  طراحی شده، در حالت کلاتر گوسی و داپلر معلوم  $f_d = 0.1$  و همبستگی نمایی با ضریب همبستگی  $\rho = 0.5$ .

برای بررسی میزان مقاوم بودن آشکارسازها نسبت به عدم قطعیت ضریب همبستگی بین نمونه‌های کلاتر، منحنی تغییرات احتمال هشدار غلط واقعی آشکارسازها بر حسب تغییرات نسبی پهنای باند طیف کلاتر (پهنای باند واقعی طیف توان کلاتر نرمالیزه شده به پهنای باند تخمین زده شده فرضی آن) در شکل ۷ نشان داده شده است. در این مثال نیز سطح آستانه در آشکارسازی برای تثبیت احتمال هشدار غلط روی  $P_{fa} = 0.1$  تنظیم شده و ضریب همبستگی دامنه نمونه‌های هدف  $\rho = 0.5$  است. همچنین  $f_d = 0.1$  و کلاتر با همبستگی نمایی در نظر گرفته می‌شود. با دقت به منحنی‌های شکل ۷ ملاحظه می‌شود که آشکارسازها از تثبیت خوبی برخوردار نبوده و رفتار مشابهی دارند.

## ۶- نتیجه گیری

در این مقاله به آشکارسازی همدوس اهداف راداری با موج میانی در کلاتر پرداخته شد. در این راستا بر مبنای یک توصیف تحلیلی از اهداف راداری، اقدام به مدل سازی دقیق تری از اهداف راداری با موج میانی در حالت همدوس نمودیم. بر این اساس نشان دادیم که استفاده از فرض مدل گوسی برای هدف با موج میانی در حالت همدوس (که در اکثر تحقیقات قبلی استفاده شده است) فرض غیر دقیق می‌باشد که در این صورت بهینگی آشکارساز ECD نیز زیر سؤال برده می‌شود.

بر اساس مدل به دست آمده، روابط آشکارسازی همدوس بهینه اهداف با موج میانی در کلاتر با توزیع گوسی را بررسی کرده و از آنجایی که دارای فرم بسته‌ای نبود، اولاً برای اولین بار نسبت به به دست آوردن روابط آشکارساز شبه بهینه GLR اقدام و آن را محقق کردیم. ثانیاً روابط آشکارسازهای ECD و OF را تحت روابط حاصل از مدل دقیق تر به دست آوردیم. این دو آشکارساز از آن لحاظ قابل توجه هستند که بر مبنای مدل‌های قبلی، آشکارساز ECD بهینه بوده و آشکارساز OF علی‌رغم ساختار ساده، عملکرد نزدیک به ECD دارد.

بررسی عملکرد آشکارسازهای مذکور در حالت‌های مختلف، در مجموع نشان دهنده عملکرد بهتر آزمون ECD نسبت به سایر آشکارسازها داشت که اگرچه تحت مدل دقیق تر هدف، بهینه نیست اما در میان آشکارسازهای مطرح بهترین عملکرد را دارد.

نکته مهم دیگر این است که در اکثر حالت‌ها و شرایط آشکارساز OF عملکرد بسیار نزدیکی با ECD دارد که با توجه به ساختار ساده تر این آشکارساز، به نوعی برتری را به خود اختصاص می‌دهد.